

Ein und Ausgabe: Farbmetrisches Drucker-Reflektiv-System FRS12\_95a, L\*=20\_95 für relative CIELAB-Bunton  $h^* = lab^*h^* = h_{ab}/360 = 0.863$   $u^*_d = v00m$

Daten für jede Farbe:

$lab^*tch^*$  und  $lab^*icu^*$

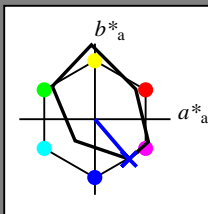
Buntontexte:

$u^*_d = v00m$   $u^*_e = b34r$

Kontrastreduzierungsfaktor:

$c_R = 0.9$

Dreiecks-Helligkeit  $i^*$



FRS12\_95a; adaptierte CIELAB-Daten

	$u^*_d$	$L^*=L^*_a$	$a^*_a$	$b^*_a$	$C^*_{ab,a}$	$h^*_{ab,a}$
O <sub>Ma</sub>	43.8	53.91	39.75	66.98	36	
Y <sub>Ma</sub>	87.58	-4.65	98.29	98.4	93	
L <sub>Ma</sub>	51.95	-56.34	43.53	71.2	142	
C <sub>Ma</sub>	59.62	-26.2	-28.62	38.8	228	
V <sub>Ma</sub>	25.01	45.2	-52.8	69.51	311	
M <sub>Ma</sub>	45.88	70.67	-29.93	76.75	337	
N <sub>Ma</sub>	20.0	0.0	0.0	0.0	0	
W <sub>Ma</sub>	95.0	0.0	0.0	0.0	0	
O <sub>Ma</sub>	39.92	58.74	27.99	65.07	25	
Y <sub>Ma</sub>	81.26	-2.89	71.56	71.62	92	
L <sub>Ma</sub>	52.23	-42.42	13.6	44.55	162	
V <sub>Ma</sub>	30.57	1.41	-46.47	46.49	272	

Daten für Maximalfarbe (Ma):

$LAB^*LAB^*_{Ma}$ : 25 45 -53

$LAB^*LCH^*_{Ma}$ : 25 70 310

$lab^*olv^*_{Ma}$ : 0.0 0.0 1.0

$lab^*rgb^*_{Ma}$ : 0.68 0.0 1.0

Dreiecks-Helligkeit  $i^*$

%Umfang

$u^*_{rel} = 88$

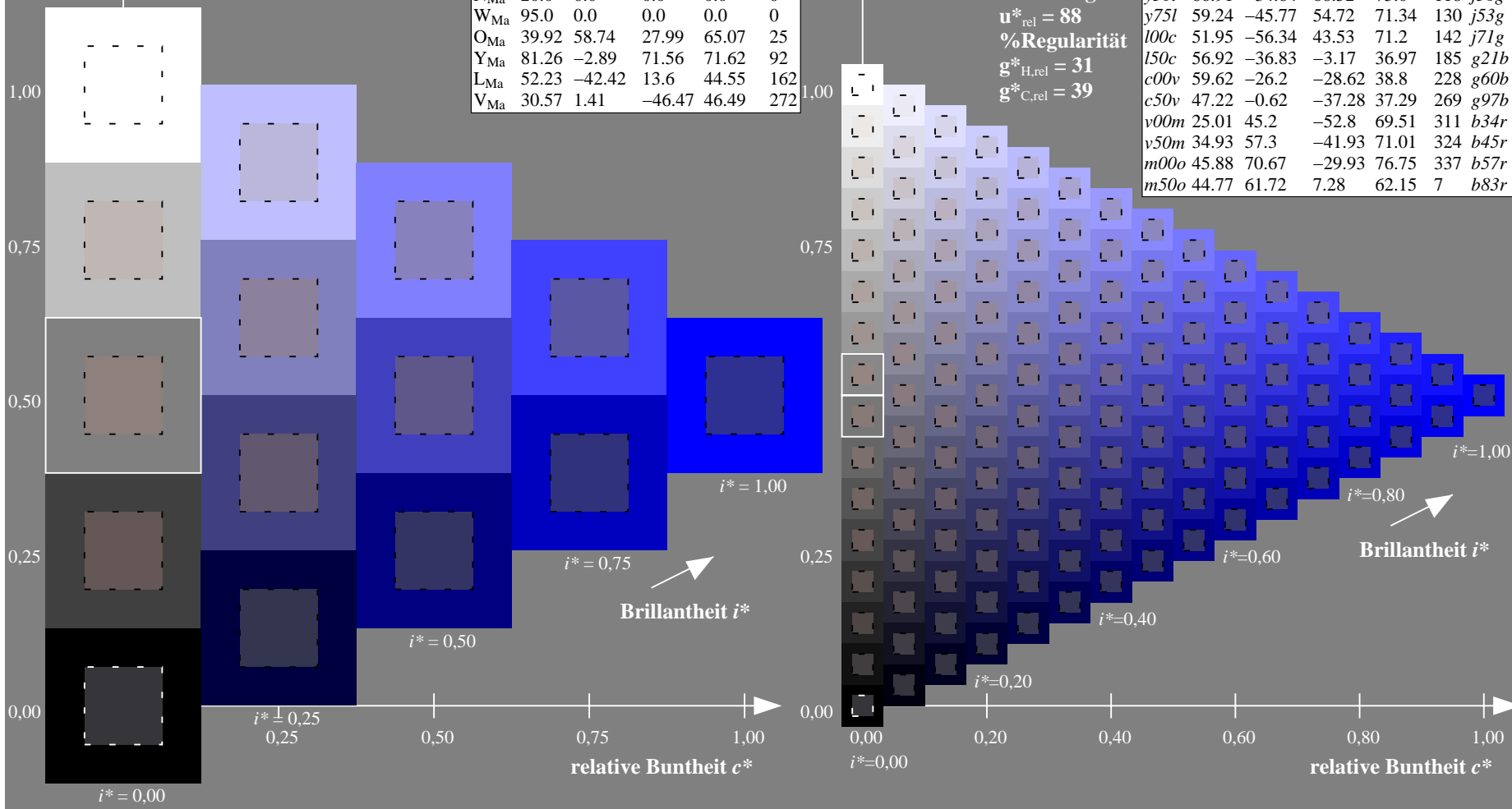
%Regularität

$g^*_{H,rel} = 31$

$g^*_{C,rel} = 39$

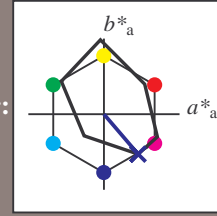
FRS12\_95a; adaptierte CIELAB-Daten

	$u^*_d$	$L^*=L^*_a$	$a^*_a$	$b^*_a$	$C^*_{ab,a}$	$h^*_{ab,a}$	$u^*_e$
<i>o00y</i>	43.8	53.91	39.75	66.98	36		<i>r16j</i>
<i>o25y</i>	52.46	42.34	51.32	66.53	50		<i>r37j</i>
<i>o50y</i>	61.53	30.2	63.46	70.28	65		<i>r58j</i>
<i>o75y</i>	72.39	15.68	77.97	79.53	79		<i>r79j</i>
<i>y00l</i>	87.58	-4.65	98.29	98.4	93		<i>j01g</i>
<i>y25l</i>	75.85	-21.67	80.26	83.13	105		<i>j18g</i>
<i>y50l</i>	66.91	-34.64	66.52	75.0	118		<i>j36g</i>
<i>y75l</i>	59.24	-45.77	54.72	71.34	130		<i>j53g</i>
<i>l00c</i>	51.95	-56.34	43.53	71.2	142		<i>j71g</i>
<i>l50c</i>	56.92	-36.83	-3.17	36.97	185		<i>g21b</i>
<i>c00v</i>	59.62	-26.2	-28.62	38.8	228		<i>g60b</i>
<i>c50v</i>	47.22	-0.62	-37.28	37.29	269		<i>g97b</i>
<i>v00m</i>	25.01	45.2	-52.8	69.51	311		<i>b34r</i>
<i>v50m</i>	34.93	57.3	-41.93	71.01	324		<i>b45r</i>
<i>m00o</i>	45.88	70.67	-29.93	76.75	337		<i>b57r</i>
<i>m50o</i>	44.77	61.72	7.28	62.15	7		<i>b83r</i>



Ein und Ausgabe: Farbmetrisches Drucker-Reflektiv-System FRS12\_95a, L\*=20\_95 für relativen CIELAB-Buntton  $h^* = lab^*h^* = h_{ab}/360 = 0.863$   $u^*_d = v00m$

Daten für jede Farbe:  
 $lab^*tch^*$  und  $lab^*icu^*$   
 Bunttontexte:  
 $u^*_d = v00m$   $u^*_e = b34r$   
 Kontrastreduzierungsfaktor:  
 $c_R = 0.9$   
 Dreiecks-Helligkeit  $i^*$



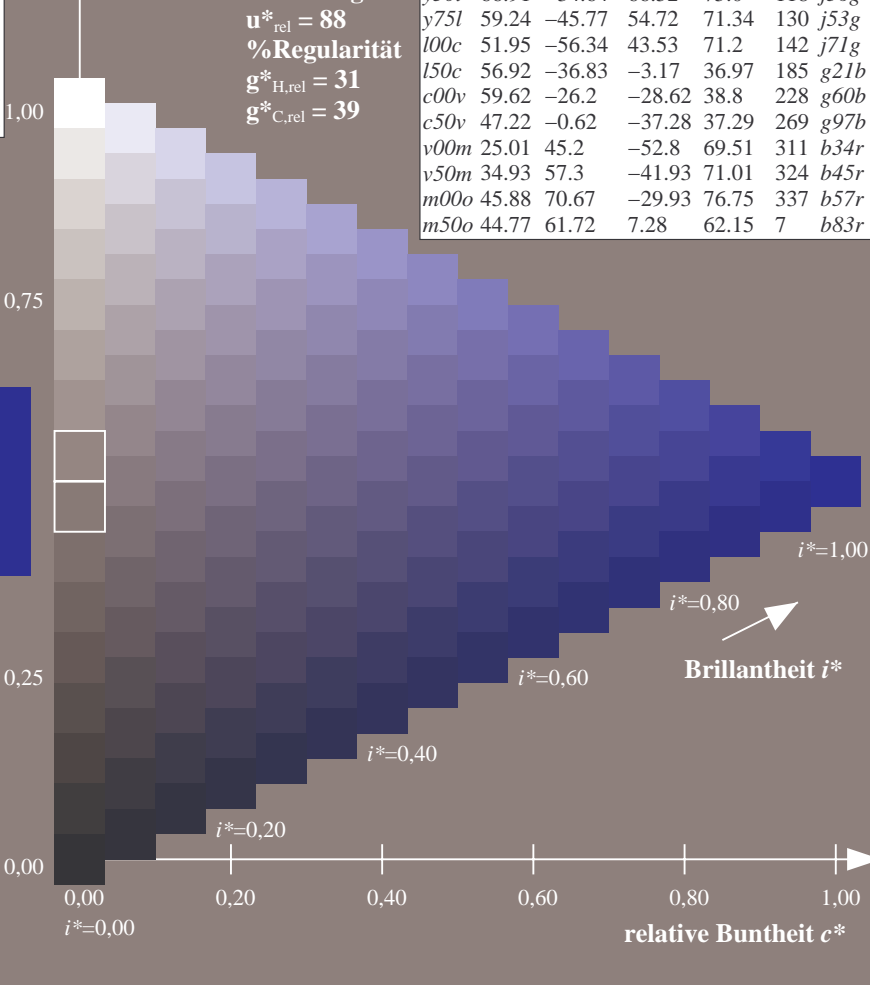
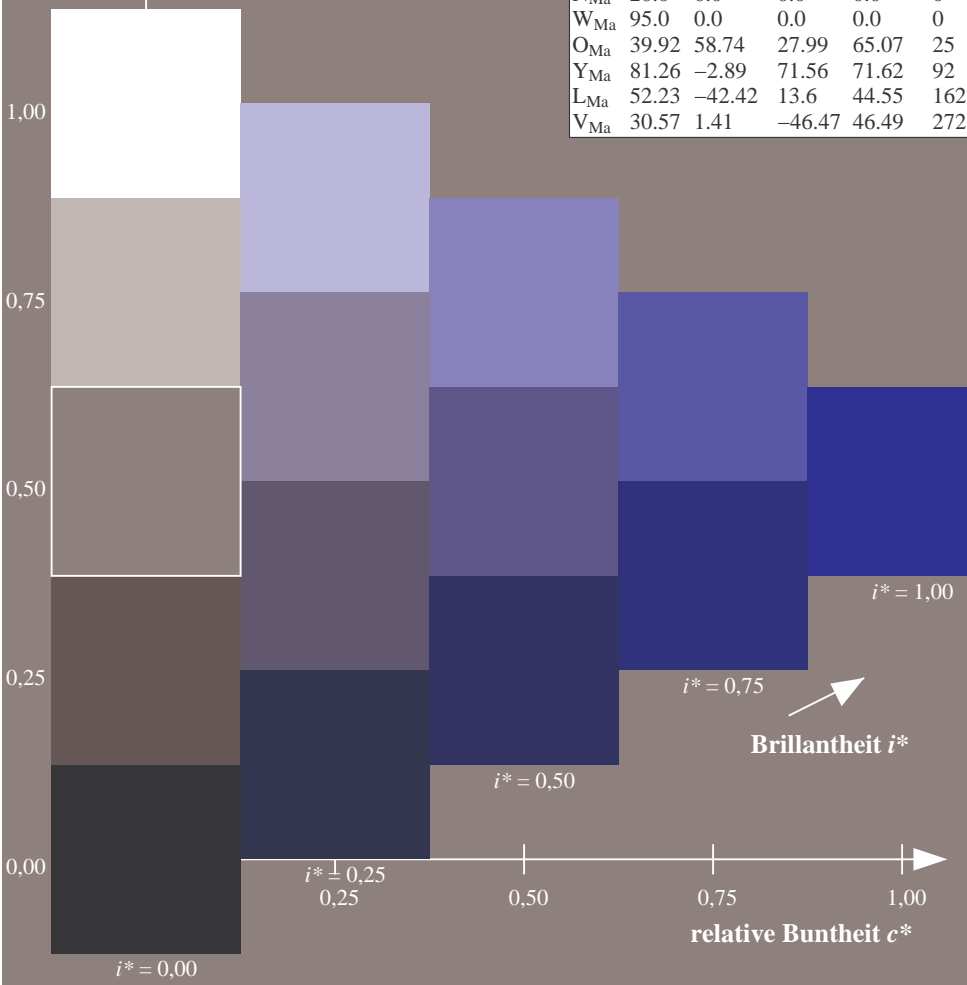
FRS12_95a; adaptierte CIELAB-Daten						
	$u^*_d$	$L^*=L^*_a$	$a^*_a$	$b^*_a$	$C^*_{ab,a}$	$h^*_{ab,a}$
OMa	43.8	53.91	39.75	66.98	36	
YMa	87.58	-4.65	98.29	98.4	93	
LMa	51.95	-56.34	43.53	71.2	142	
CMa	59.62	-26.2	-28.62	38.8	228	
VMa	25.01	45.2	-52.8	69.51	311	
NMa	45.88	70.67	-29.93	76.75	337	
NMa	20.0	0.0	0.0	0.0	0	
WMa	95.0	0.0	0.0	0.0	0	
OMa	39.92	58.74	27.99	65.07	25	
YMa	81.26	-2.89	71.56	71.62	92	
LMa	52.23	-42.42	13.6	44.55	162	
VMa	30.57	1.41	-46.47	46.49	272	

Daten für Maximalfarbe (Ma):

$LAB^*LAB^*_{Ma}$ : 25 45 -53  
 $LAB^*LCH^*_{Ma}$ : 25 70 310  
 $lab^*olv^*_{Ma}$ : 0.0 0.0 1.0  
 $lab^*rgb^*_{Ma}$ : 0.68 0.0 1.0

FRS12_95a; adaptierte CIELAB-Daten							
	$u^*_d$	$L^*=L^*_a$	$a^*_a$	$b^*_a$	$C^*_{ab,a}$	$h^*_{ab,a}$	$u^*_e$
o00y	43.8	53.91	39.75	66.98	36		r16j
o25y	52.46	42.34	51.32	66.53	50		r37j
o50y	61.53	30.2	63.46	70.28	65		r58j
o75y	72.39	15.68	77.97	79.53	79		r79j
y00l	87.58	-4.65	98.29	98.4	93		j01g
y25l	75.85	-21.67	80.26	83.13	105		j18g
y50l	66.91	-34.64	66.52	75.0	118		j36g
y75l	59.24	-45.77	54.72	71.34	130		j53g
l00c	51.95	-56.34	43.53	71.2	142		j71g
l50c	56.92	-36.83	-3.17	36.97	185		g21b
c00v	59.62	-26.2	-28.62	38.8	228		g60b
c50v	47.22	-0.62	-37.28	37.29	269		g97b
v00m	25.01	45.2	-52.8	69.51	311		b34r
v50m	34.93	57.3	-41.93	71.01	324		b45r
m00o	45.88	70.67	-29.93	76.75	337		b57r
m50o	44.77	61.72	7.28	62.15	7		b83r

Dreiecks-Helligkeit  $i^*$   
 %Umfang  
 $u^*_{rel} = 88$   
 %Regularität  
 $g^*_{H,rel} = 31$   
 $g^*_{C,rel} = 39$

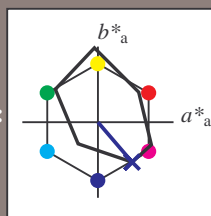


Siehe ähnliche Dateien: <http://www.ps.bam.de/Fg78/>; [www.ps.bam.de/Version 2.1, io=1,1, Colspx=0](http://www.ps.bam.de/Version2.1,io=1,1,Colspx=0)  
 Technische Information: <http://www.ps.bam.de>

BAM-Registrierung: 20081001-Fg78/10L/L78g00NP.PDF/ .PS BAM-Material: Code=rh4ta  
 Anwendung für Beurteilung und Messung von Drucker- oder Monitorssystemen

Ein und Ausgabe: Farbmetrisches Drucker-Reflektiv-System FRS12\_95a, L\*=20\_95 für relative CIELAB-Buntton  $h^* = lab^*h^* = h_{ab}^*/360 = 0.863$   $u^*_d = v00m$   
 $lab^*olv^*$

Daten für jede Farbe:  
 $lab^*tch^*$  und  $lab^*icu^*$   
 Bunttontexte:  
 $u^*_d = v00m$   $u^*_e = b34r$   
 Kontrastreduzierungsfaktor:  
 $c_R = 0.9$   
 Dreiecks-Helligkeit  $i^*$



FRS12\_95a; adaptierte CIELAB-Daten

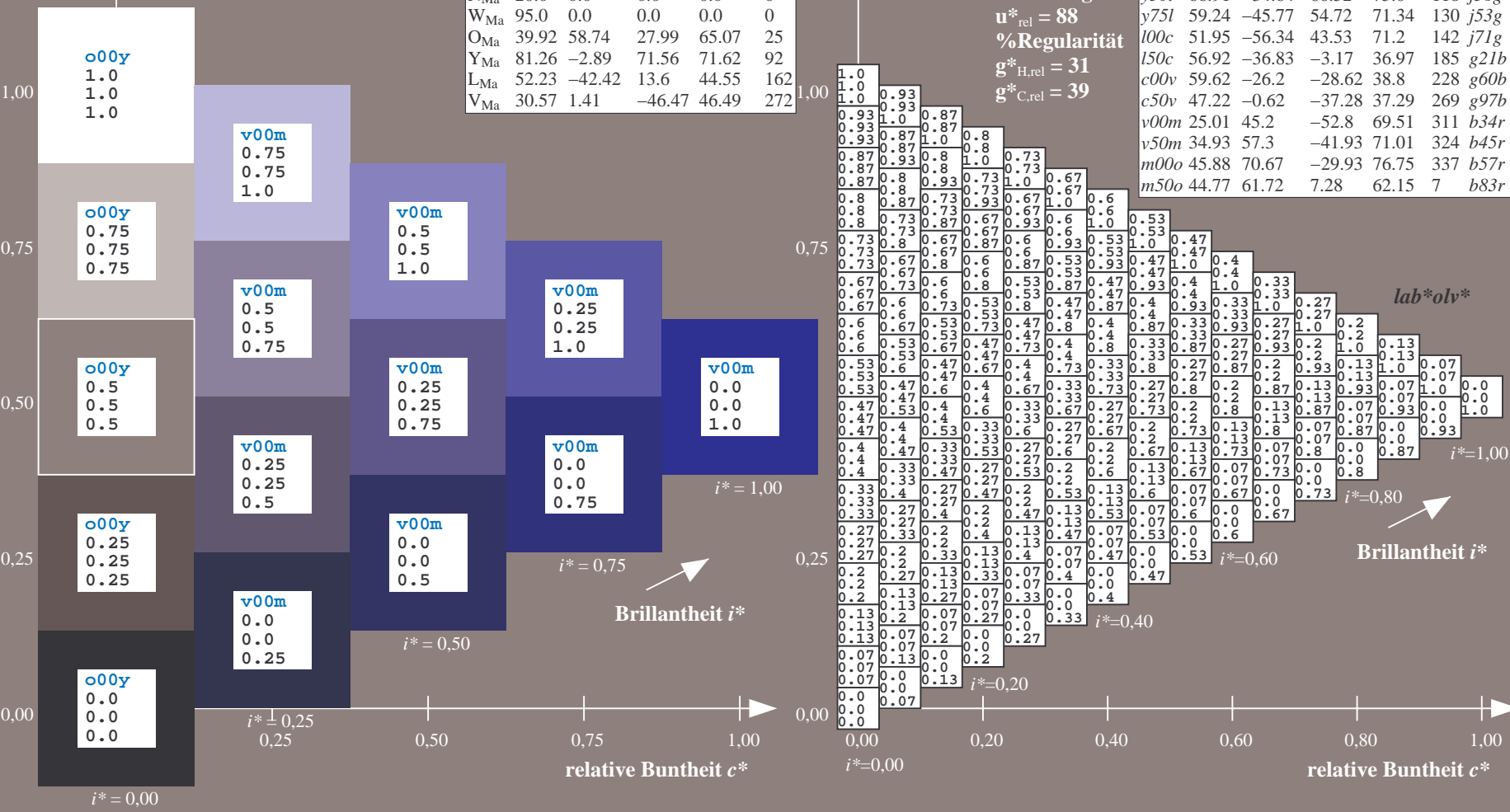
$u^*_d$	$L^*=L^*_a$	$a^*_a$	$b^*_a$	$C^*_{ab,a}$	$h^*_{ab,a}$
O <sub>Ma</sub>	43.8	53.91	39.75	66.98	36
Y <sub>Ma</sub>	87.58	-4.65	98.29	98.4	93
L <sub>Ma</sub>	51.95	-56.34	43.53	71.2	142
C <sub>Ma</sub>	59.62	-26.2	-28.62	38.8	228
V <sub>Ma</sub>	25.01	45.2	-52.8	69.51	311
M <sub>Ma</sub>	45.88	70.67	-29.93	76.75	337
N <sub>Ma</sub>	20.0	0.0	0.0	0.0	0
W <sub>Ma</sub>	95.0	0.0	0.0	0.0	0
O <sub>Ma</sub>	39.92	58.74	27.99	65.07	25
Y <sub>Ma</sub>	81.26	-2.89	71.56	71.62	92
L <sub>Ma</sub>	52.23	-42.42	13.6	44.55	162
V <sub>Ma</sub>	30.57	1.41	-46.47	46.49	272

Daten für Maximalfarbe (Ma):  
 $LAB^*LAB^*_{Ma}$ : 25 45 -53  
 $LAB^*LCH^*_{Ma}$ : 25 70 310  
 $lab^*olv^*_{Ma}$ : 0.0 0.0 1.0  
 $lab^*rgb^*_{Ma}$ : 0.68 0.0 1.0  
 Dreiecks-Helligkeit  $i^*$

FRS12\_95a; adaptierte CIELAB-Daten

$u^*_d$	$L^*=L^*_a$	$a^*_a$	$b^*_a$	$C^*_{ab,a}$	$h^*_{ab,a}$	$u^*_e$
o00y	43.8	53.91	39.75	66.98	36	r16j
o25y	52.46	42.34	51.32	66.53	60	r37j
o50y	61.53	30.2	63.46	70.28	55	r58j
o75y	72.39	15.68	77.97	79.53	79	r79j
y00l	87.58	-4.65	98.29	98.4	93	j01g
y25l	75.85	-21.67	80.26	83.13	105	j18g
y50l	66.91	-34.64	66.52	75.0	118	j36g
y75l	59.24	-45.77	54.72	71.34	130	j53g
l00c	51.95	-56.34	43.53	71.2	142	j71g
l50c	56.92	-36.83	-3.17	36.97	185	g21b
c00v	59.62	-26.2	-28.62	38.8	228	g60b
c50v	47.22	-0.62	-37.28	37.29	269	g97b
v00m	25.01	45.2	-52.8	69.51	311	b34r
v50m	34.93	57.3	-41.93	71.01	324	b45r
m00o	45.88	70.67	-29.93	76.75	337	b57r
m50o	44.77	61.72	7.28	62.15	7	b83r

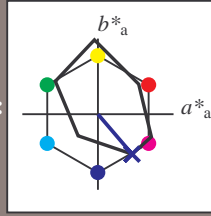
%Umfang  
 $u^*_{rel} = 88$   
 %Regularität  
 $g^*_{H,rel} = 31$   
 $g^*_{C,rel} = 39$



Siehe ähnliche Dateien: <http://www.ps.bam.de/Fg78/>; [www.ps.bam.de/Fg78/Version 2.1, io=1,1, Colspx=0](http://www.ps.bam.de/Fg78/Version2.1,io=1,1,Colspx=0)  
 Technische Information: <http://www.ps.bam.de>

BAM-Registrierung: 20081001-Fg78/10L/L78g00NP.PDF/.PS BAM-Material: Code=rhatha  
 Anwendung für Beurteilung und Messung von Drucker- oder Monitorssystemen

Ein und Ausgabe: Farbmetrisches Drucker-Reflektiv-System FRS12\_95a, L\*=20\_95 für relative CIELAB-Buntton  $h^* = lab^*h^* = h_{ab}/360 = 0.863$   $u^*_d = v00m$   
 Daten für jede Farbe:  $lab^*tch^*$  und  $lab^*icu^*$   
 $u^*_d = v00m$   $u^*_e = b34r$   
 Kontrastreduzierungsfaktor:  $c_R = 0.9$   
 Dreiecks-Helligkeit  $i^*$



**FRS12\_95a; adaptierte CIELAB-Daten**

	$u^*_d$	$L^*=L^*_a$	$a^*_a$	$b^*_a$	$C^*_{ab,a}$	$h^*_{ab,a}$
O <sub>Ma</sub>	43.8	53.91	39.75	66.98	36	
Y <sub>Ma</sub>	87.58	-4.65	98.29	98.4	93	
L <sub>Ma</sub>	51.95	-56.34	43.53	71.2	142	
C <sub>Ma</sub>	59.62	-26.2	-28.62	38.8	228	
V <sub>Ma</sub>	25.01	45.2	-52.8	69.51	311	
M <sub>Ma</sub>	45.88	70.67	-29.93	76.75	337	
N <sub>Ma</sub>	20.0	0.0	0.0	0.0	0	
W <sub>Ma</sub>	95.0	0.0	0.0	0.0	0	
O <sub>Ma</sub>	39.92	58.74	27.99	65.07	25	
Y <sub>Ma</sub>	81.26	-2.89	71.56	71.62	92	
L <sub>Ma</sub>	52.23	-42.42	13.6	44.55	162	
V <sub>Ma</sub>	30.57	1.41	-46.47	46.49	272	

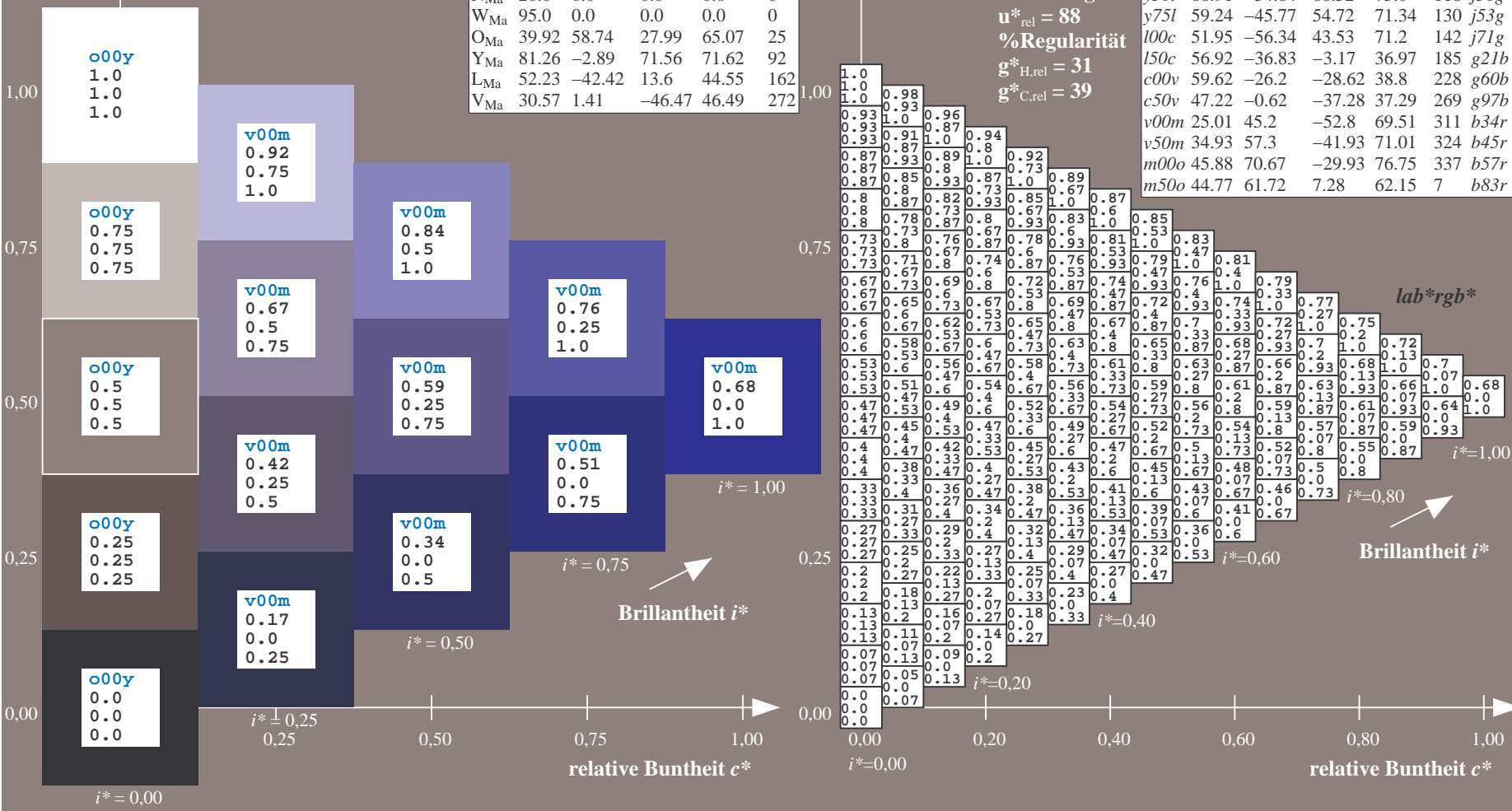
Daten für Maximalfarbe (Ma):

$LAB^*LAB^*_{Ma}$ : 25 45 -53  
 $LAB^*LCH^*_{Ma}$ : 25 70 310  
 $lab^*olv^*_{Ma}$ : 0.0 0.0 1.0  
 $lab^*rgb^*_{Ma}$ : 0.68 0.0 1.0

**FRS12\_95a; adaptierte CIELAB-Daten**

	$u^*_d$	$L^*=L^*_a$	$a^*_a$	$b^*_a$	$C^*_{ab,a}$	$h^*_{ab,a}$	$u^*_e$
o00y	43.8	53.91	39.75	66.98	36		r16j
o25y	52.46	42.34	51.32	66.53	60		r37j
o50y	61.53	30.2	63.46	70.28	65		r58j
o75y	72.39	15.68	77.97	79.53	79		r79j
y00l	87.58	-4.65	98.29	98.4	93		j01g
y25l	75.85	-21.67	80.26	83.13	105		j18g
y50l	66.91	-34.64	66.52	75.0	118		j36g
y75l	59.24	-45.77	54.72	71.34	130		j53g
l00c	51.95	-56.34	43.53	71.2	142		j71g
l50c	56.92	-36.83	-3.17	36.97	185		g21b
c00v	59.62	-26.2	-28.62	38.8	228		g60b
c50v	47.22	-0.62	-37.28	37.29	269		g97b
v00m	25.01	45.2	-52.8	69.51	311		b34r
v50m	34.93	57.3	-41.93	71.01	324		b45r
m00o	45.88	70.67	-29.93	76.75	337		b57r
m50o	44.77	61.72	7.28	62.15	7		b83r

Dreiecks-Helligkeit  $i^*$   
 %Umfang  $u^*_{rel} = 88$   
 %Regularität  $g^*_{H,rel} = 31$   
 $g^*_{C,rel} = 39$



BAM-Registrierung: 20081001-Fg78/10L/L78g00NP.PDF/.PS BAM-Material: Code=rh4ta  
 Anwendung für Beurteilung und Messung von Drucker- oder Monitorssystemen

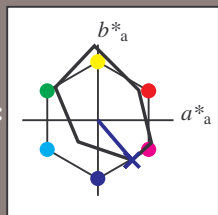
Ein und Ausgabe: Farbmetrisches Drucker-Reflektiv-System FRS12\_95a, L\*=-20\_95 für relativen CIELAB-Buntton  $h^* = lab^*h^* = h_{ab}/360 = 0.863$   $u^*_d = v00m$

Daten für jede Farbe:  
 $lab^*tch^*$  und  $lab^*icu^*$

Bunttontexte:  
 $u^*_d = v00m$   $u^*_e = b34r$

Kontrastreduzierungsfaktor:  
 $c_R = 0.9$

Dreiecks-Helligkeit  $i^*$



FRS12_95a; adaptierte CIELAB-Daten						
	$u^*_d$	$L^*=L^*_a$	$a^*_a$	$b^*_a$	$C^*_{ab,a}$	$h^*_{ab,a}$
O <sub>Ma</sub>	43.8	53.91	39.75	66.98	36	
Y <sub>Ma</sub>	87.58	-4.65	98.29	98.4	93	
L <sub>Ma</sub>	51.95	-56.34	43.53	71.2	142	
C <sub>Ma</sub>	59.62	-26.2	-28.62	38.8	228	
V <sub>Ma</sub>	25.01	45.2	-52.8	69.51	311	
M <sub>Ma</sub>	45.88	70.67	-29.93	76.75	337	
N <sub>Ma</sub>	20.0	0.0	0.0	0.0	0	
W <sub>Ma</sub>	95.0	0.0	0.0	0.0	0	
O <sub>Ma</sub>	39.92	58.74	27.99	65.07	25	
Y <sub>Ma</sub>	81.26	-2.89	71.56	71.62	92	
L <sub>Ma</sub>	52.23	-42.42	13.6	44.55	162	
V <sub>Ma</sub>	30.57	1.41	-46.47	46.49	272	

Daten für Maximalfarbe (Ma):

$LAB^*LAB^*_Ma$ : 25 45 -53

$LAB^*LCH^*_Ma$ : 25 70 310

$lab^*olv^*_Ma$ : 0.0 0.0 1.0

$lab^*rgb^*_Ma$ : 0.68 0.0 1.0

Dreiecks-Helligkeit  $i^*$

%Umfang

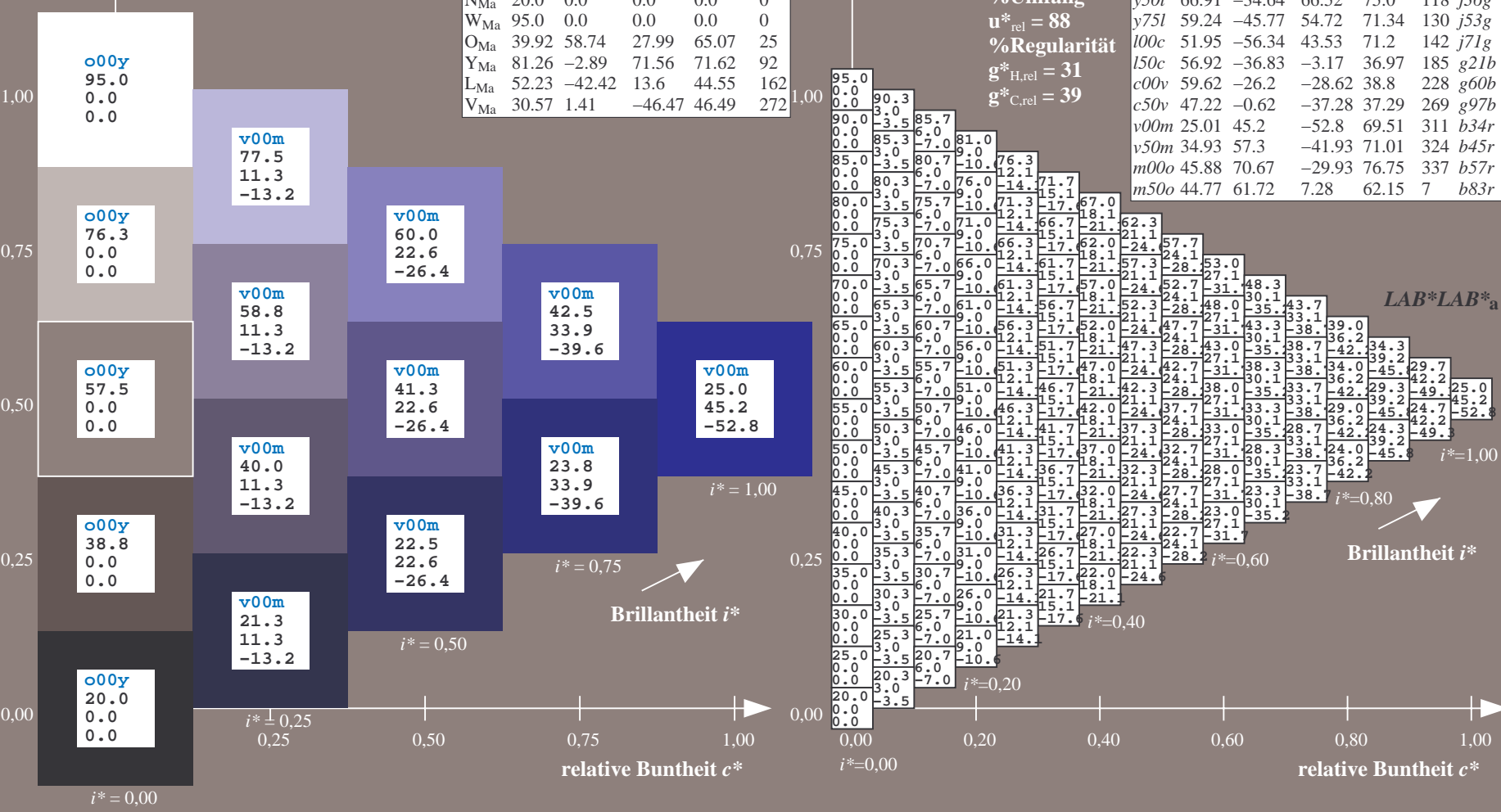
$u^*_{rel} = 88$

%Regularität

$g^*_{H,rel} = 31$

$g^*_{C,rel} = 39$

FRS12_95a; adaptierte CIELAB-Daten									
	$u^*_d$	$L^*=L^*_a$	$a^*_a$	$b^*_a$	$C^*_{ab,a}$	$h^*_{ab,a}$	$u^*_e$		
o00y	43.8	53.91	39.75	66.98	36				r16j
o25y	52.46	42.34	51.32	66.53	60				r37j
o50y	61.53	30.2	63.46	70.28	65				r58j
o75y	72.39	15.68	77.97	79.53	79				r79j
y00l	87.58	-4.65	98.29	98.4	93				j01g
y25l	75.85	-21.67	80.26	83.13	105				j18g
y50l	66.91	-34.64	66.52	75.0	118				j36g
y75l	59.24	-45.77	54.72	71.34	130				j53g
l00c	51.95	-56.34	43.53	71.2	142				j71g
l50c	56.92	-36.83	-3.17	36.97	185				g21b
c00v	59.62	-26.2	-28.62	38.8	228				g60b
c50v	47.22	-0.62	-37.28	37.29	269				g97b
v00m	25.01	45.2	-52.8	69.51	311				b34r
v50m	34.93	57.3	-41.93	71.01	324				b45r
m00o	45.88	70.67	-29.93	76.75	337				b57r
m50o	44.77	61.72	7.28	62.15	7				b83r



Siehe ähnliche Dateien: <http://www.ps.bam.de/Fg78/>; [www.ps.bam.de/Version 2.1, io=1,1, Colspx=0](http://www.ps.bam.de/Version2.1,io=1,1,Colspx=0)  
 Technische Information: <http://www.ps.bam.de>

BAM-Registrierung: 20081001-Fg78/10L/L78g00NP.PDF/ .PS BAM-Material: Code=rh4ta  
 Anwendung für Beurteilung und Messung von Drucker- oder Monitorssystemen

Ein und Ausgabe: Farbmetrisches Drucker-Reflektiv-System FRS12\_95a, L\*=20\_95 für relativen CIELAB-Buntton  $h^* = lab^*h^* = h_{ab}/360 = 0.863$   $u^*_d = v00m$

Daten für jede Farbe:

$lab^*ch^*$  und  $lab^*icu^*$

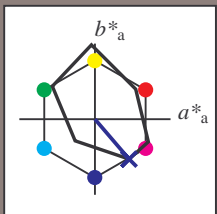
Bunttontexte:

$u^*_d = v00m$   $u^*_e = b34r$

Kontrastreduzierungsfaktor:

$c_R = 0.9$

Dreiecks-Helligkeit  $i^*$



FRS12\_95a; adaptierte CIELAB-Daten

	$u^*_d$	$L^*=L^*_a$	$a^*_a$	$b^*_a$	$C^*_{ab,a}$	$h^*_{ab,a}$
O <sub>Ma</sub>	43.8	53.91	39.75	66.98	36	
Y <sub>Ma</sub>	87.58	-4.65	98.29	98.4	93	
L <sub>Ma</sub>	51.95	-56.34	43.53	71.2	142	
C <sub>Ma</sub>	59.62	-26.2	-28.62	38.8	228	
V <sub>Ma</sub>	25.01	45.2	-52.8	69.51	311	
M <sub>Ma</sub>	45.88	70.67	-29.93	76.75	337	
N <sub>Ma</sub>	20.0	0.0	0.0	0.0	0	
W <sub>Ma</sub>	95.0	0.0	0.0	0.0	0	
O <sub>Ma</sub>	39.92	58.74	27.99	65.07	25	
Y <sub>Ma</sub>	81.26	-2.89	71.56	71.62	92	
L <sub>Ma</sub>	52.23	-42.42	13.6	44.55	162	
V <sub>Ma</sub>	30.57	1.41	-46.47	46.49	272	

Daten für Maximalfarbe (Ma):

$LAB^*LAB^*_{Ma}$ : 25 45 -53

$LAB^*LCH^*_{Ma}$ : 25 70 310

$lab^*olv^*_{Ma}$ : 0.0 0.0 1.0

$lab^*rgb^*_{Ma}$ : 0.68 0.0 1.0

Dreiecks-Helligkeit  $i^*$

%Umfang

$u^*_{rel} = 88$

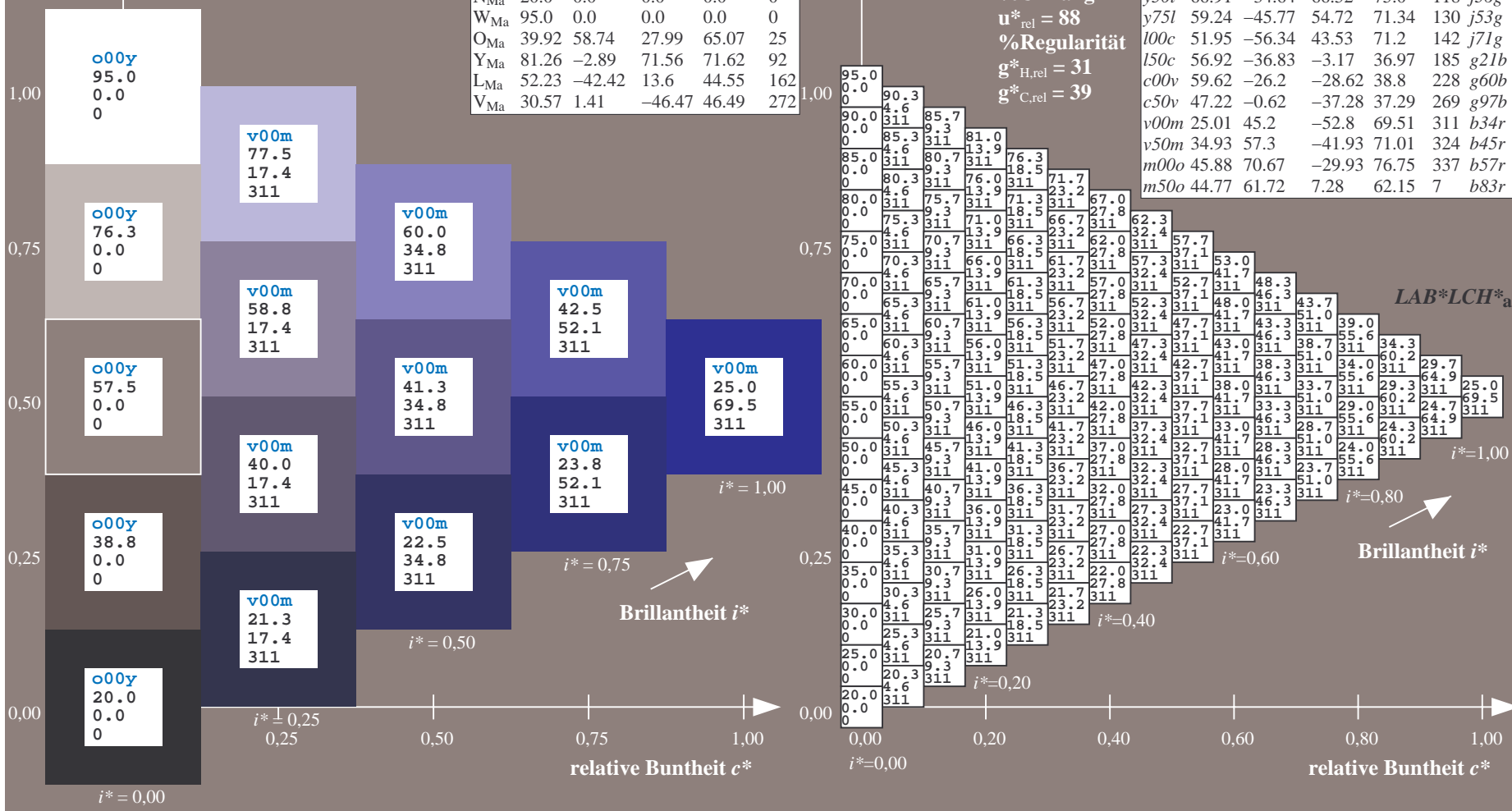
%Regularität

$g^*_{H,rel} = 31$

$g^*_{C,rel} = 39$

FRS12\_95a; adaptierte CIELAB-Daten

	$u^*_d$	$L^*=L^*_a$	$a^*_a$	$b^*_a$	$C^*_{ab,a}$	$h^*_{ab,a}$	$u^*_e$
o00y	43.8	53.91	39.75	66.98	36		r16j
o25y	52.46	42.34	51.32	66.53	60		r37j
o50y	61.53	30.2	63.46	70.28	55		r58j
o75y	72.39	15.68	77.97	79.53	79		r79j
y00l	87.58	-4.65	98.29	98.4	93		j01g
y25l	75.85	-21.67	80.26	83.13	105		j18g
y50l	66.91	-34.64	66.52	75.0	118		j36g
y75l	59.24	-45.77	54.72	71.34	130		j53g
l00c	51.95	-56.34	43.53	71.2	142		j71g
l50c	56.92	-36.83	-3.17	36.97	185		g21b
c00v	59.62	-26.2	-28.62	38.8	228		g60b
c50v	47.22	-0.62	-37.28	37.29	269		g97b
v00m	25.01	45.2	-52.8	69.51	311		b34r
v50m	34.93	57.3	-41.93	71.01	324		b45r
m00o	45.88	70.67	-29.93	76.75	337		b57r
m50o	44.77	61.72	7.28	62.15	7		b83r



Ein und Ausgabe: Farbmetrisches Drucker-Reflektiv-System FRS12\_95a, L\*=20\_95 für relative CIELAB-Buntton  $h^* = lab^*h^* = h_{ab}^*/360 = 0.863$   $u^*_d = v00m$   $lab^*tch^*$

Daten für jede Farbe:

$lab^*tch^*$  und  $lab^*icu^*$

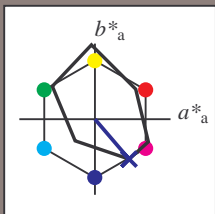
Bunttontexte:

$u^*_d = v00m$   $u^*_e = b34r$

Kontrastreduzierungsfaktor:

$c_R = 0.9$

Dreiecks-Helligkeit  $i^*$



FRS12\_95a; adaptierte CIELAB-Daten

	$u^*_d$	$L^*=L^*_a$	$a^*_a$	$b^*_a$	$C^*_{ab,a}$	$h^*_{ab,a}$
O <sub>Ma</sub>	43.8	53.91	39.75	66.98	36	
Y <sub>Ma</sub>	87.58	-4.65	98.29	98.4	93	
L <sub>Ma</sub>	51.95	-56.34	43.53	71.2	142	
C <sub>Ma</sub>	59.62	-26.2	-28.62	38.8	228	
V <sub>Ma</sub>	25.01	45.2	-52.8	69.51	311	
M <sub>Ma</sub>	45.88	70.67	-29.93	76.75	337	
N <sub>Ma</sub>	20.0	0.0	0.0	0.0	0	
W <sub>Ma</sub>	95.0	0.0	0.0	0.0	0	
O <sub>Ma</sub>	39.92	58.74	27.99	65.07	25	
Y <sub>Ma</sub>	81.26	-2.89	71.56	71.62	92	
L <sub>Ma</sub>	52.23	-42.42	13.6	44.55	162	
V <sub>Ma</sub>	30.57	1.41	-46.47	46.49	272	

Daten für Maximalfarbe (Ma):

$LAB^*LAB^*_{Ma}$ : 25 45 -53

$LAB^*LCH^*_{Ma}$ : 25 70 310

$lab^*olv^*_{Ma}$ : 0.0 0.0 1.0

$lab^*rgb^*_{Ma}$ : 0.68 0.0 1.0

Dreiecks-Helligkeit  $i^*$

%Umfang

$u^*_{rel} = 88$

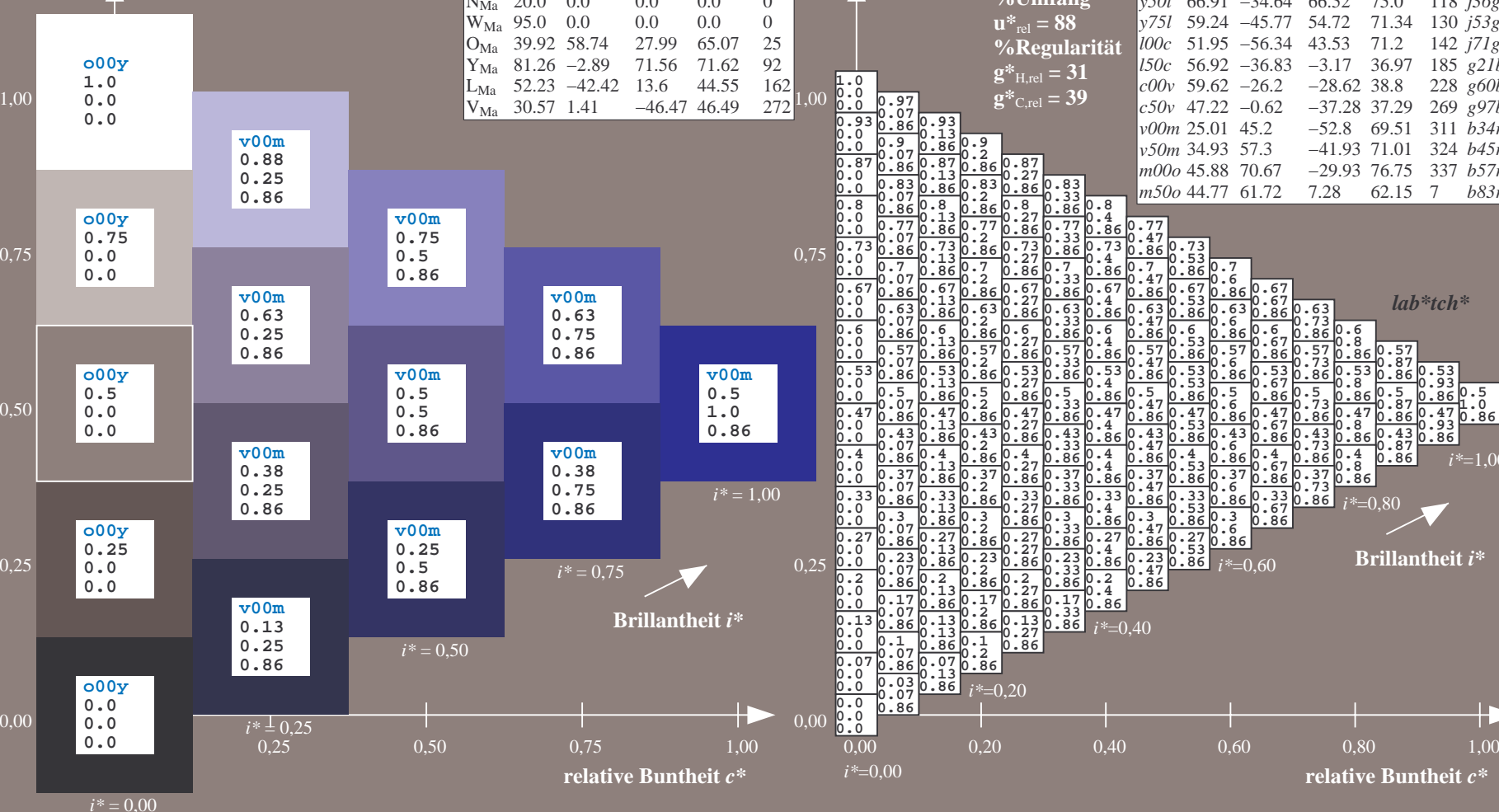
%Regularität

$g^*_{H,rel} = 31$

$g^*_{C,rel} = 39$

FRS12\_95a; adaptierte CIELAB-Daten

	$u^*_d$	$L^*=L^*_a$	$a^*_a$	$b^*_a$	$C^*_{ab,a}$	$h^*_{ab,a}$	$u^*_e$
o00y	43.8	53.91	39.75	66.98	36		r16j
o25y	52.46	42.34	51.32	66.53	60		r37j
o50y	61.53	30.2	63.46	70.28	65		r58j
o75y	72.39	15.68	77.97	79.53	79		r79j
y00l	87.58	-4.65	98.29	98.4	93		j01g
y25l	75.85	-21.67	80.26	83.13	105		j18g
y50l	66.91	-34.64	66.52	75.0	118		j36g
y75l	59.24	-45.77	54.72	71.34	130		j53g
l00c	51.95	-56.34	43.53	71.2	142		j71g
l50c	56.92	-36.83	-3.17	36.97	185		g21b
c00v	59.62	-26.2	-28.62	38.8	228		g60b
c50v	47.22	-0.62	-37.28	37.29	269		g97b
v00m	25.01	45.2	-52.8	69.51	311		b34r
v50m	34.93	57.3	-41.93	71.01	324		b45r
m00o	45.88	70.67	-29.93	76.75	337		b57r
m50o	44.77	61.72	7.28	62.15	7		b83r

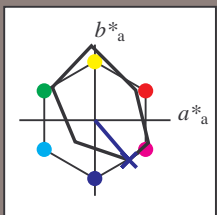


Siehe ähnliche Dateien: <http://www.ps.bam.de/Fg78/>; [www.ps.bam.de/Version 2.1, io=1,1, Colspx=0](http://www.ps.bam.de/Version2.1,io=1,1,Colspx=0)  
 Technische Information: <http://www.ps.bam.de>

BAM-Registrierung: 20081001-Fg78/10L/L78g00NP.PDF/.PS BAM-Material: Code=rhatha  
 Anwendung für Beurteilung und Messung von Drucker- oder Monitorssystemen

Ein und Ausgabe: Farbmetrisches Drucker-Reflektiv-System FRS12\_95a, L\*=20\_95 für relative CIELAB-Buntton  $h^* = lab^*h^* = h_{ab}/360 = 0.863$   $u^*_d = v00m$   
 $lab^*icu^*_e$

Daten für jede Farbe:  
 $lab^*ch^*$  und  $lab^*icu^*_e$   
 Bunttontexte:  
 $u^*_d = v00m$   $u^*_e = b34r$   
 Kontrastreduzierungsfaktor:  
 $c_R = 0.9$   
 Dreiecks-Helligkeit  $i^*$



FRS12\_95a; adaptierte CIELAB-Daten

	$u^*_d$	$L^*=L^*_a$	$a^*_a$	$b^*_a$	$C^*_{ab,a}$	$h^*_{ab,a}$
O <sub>Ma</sub>	43.8	53.91	39.75	66.98	36	
Y <sub>Ma</sub>	87.58	-4.65	98.29	98.4	93	
L <sub>Ma</sub>	51.95	-56.34	43.53	71.2	142	
C <sub>Ma</sub>	59.62	-26.2	-28.62	38.8	228	
V <sub>Ma</sub>	25.01	45.2	-52.8	69.51	311	
M <sub>Ma</sub>	45.88	70.67	-29.93	76.75	337	
N <sub>Ma</sub>	20.0	0.0	0.0	0.0	0	
W <sub>Ma</sub>	95.0	0.0	0.0	0.0	0	
O <sub>Ma</sub>	39.92	58.74	27.99	65.07	25	
Y <sub>Ma</sub>	81.26	-2.89	71.56	71.62	92	
L <sub>Ma</sub>	52.23	-42.42	13.6	44.55	162	
V <sub>Ma</sub>	30.57	1.41	-46.47	46.49	272	

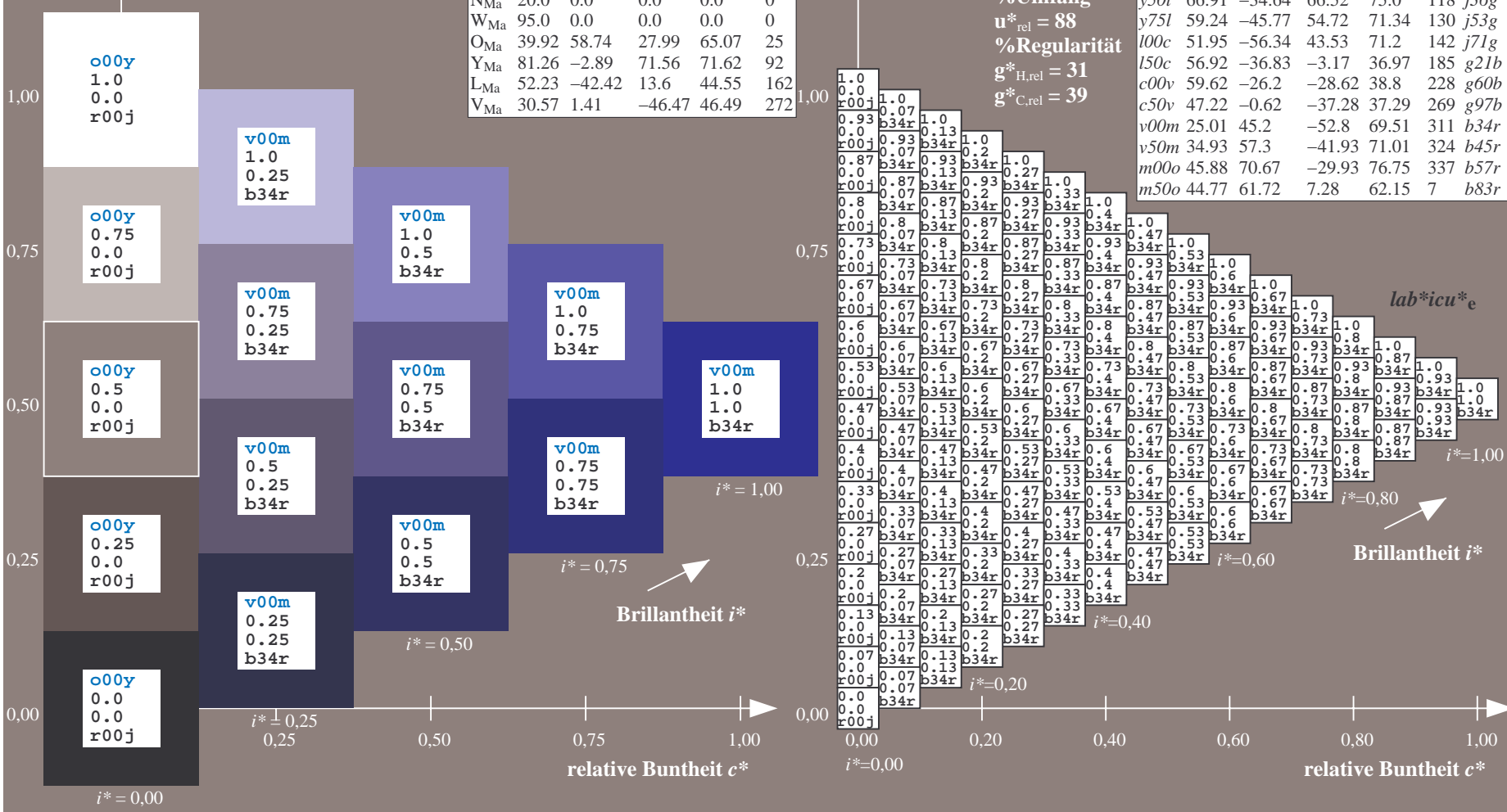
Daten für Maximalfarbe (Ma):

$LAB^*LAB^*_{Ma}$ : 25 45 -53  
 $LAB^*LCH^*_{Ma}$ : 25 70 310  
 $lab^*olv^*_{Ma}$ : 0.0 0.0 1.0  
 $lab^*rgb^*_{Ma}$ : 0.68 0.0 1.0

FRS12\_95a; adaptierte CIELAB-Daten

	$u^*_d$	$L^*=L^*_a$	$a^*_a$	$b^*_a$	$C^*_{ab,a}$	$h^*_{ab,a}$	$u^*_e$
o00y	43.8	53.91	39.75	66.98	36		r16j
o25y	52.46	42.34	51.32	66.53	60		r37j
o50y	61.53	30.2	63.46	70.28	55		r58j
o75y	72.39	15.68	77.97	79.53	79		r79j
y00l	87.58	-4.65	98.29	98.4	93		j01g
y25l	75.85	-21.67	80.26	83.13	105		j18g
y50l	66.91	-34.64	66.52	75.0	118		j36g
y75l	59.24	-45.77	54.72	71.34	130		j53g
l00c	51.95	-56.34	43.53	71.2	142		j71g
l50c	56.92	-36.83	-3.17	36.97	185		g21b
c00v	59.62	-26.2	-28.62	38.8	228		g60b
c50v	47.22	-0.62	-37.28	37.29	269		g97b
v00m	25.01	45.2	-52.8	69.51	311		b34r
v50m	34.93	57.3	-41.93	71.01	324		b45r
m00o	45.88	70.67	-29.93	76.75	337		b57r
m50o	44.77	61.72	7.28	62.15	7		b83r

Dreiecks-Helligkeit  $i^*$   
 %Umfang  
 $u^*_{rel} = 88$   
 %Regularität  
 $g^*_{H,rel} = 31$   
 $g^*_{C,rel} = 39$





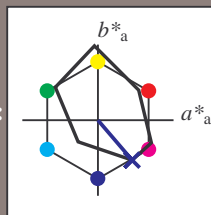
Ein und Ausgabe: Farbmetrisches Drucker-Reflektiv-System FRS12\_95a, L\*=20\_95 für relativen CIELAB-Buntton  $h^* = lab^*h^* = h_{ab}/360 = 0.863$   $u^*_d = v00m$

Daten für jede Farbe:  
 $lab^*ch^*$  und  $lab^*icu^*$

Bunttontexte:  
 $u^*_d = v00m$   $u^*_e = b34r$

Kontrastreduzierungsfaktor:  
 $c_R = 0.9$

Dreiecks-Helligkeit  $i^*$



FRS12_95; CIELAB-Daten						
	$u^*_d$	$L^*=L^*$	$a^*$	$b^*$	$C^*_{ab}$	$h^*_{ab}$
O <sub>M</sub>	43.8	54.41	32.95	63.61	31	
Y <sub>M</sub>	87.58	-4.04	90.02	90.11	93	
L <sub>M</sub>	51.95	-55.83	36.46	66.68	147	
C <sub>M</sub>	59.62	-25.67	-35.94	44.17	234	
V <sub>M</sub>	25.01	45.64	-58.96	74.57	308	
M <sub>M</sub>	45.88	71.17	-36.79	80.12	333	
N <sub>M</sub>	20.0	0.43	-5.99	6.01	274	
W <sub>M</sub>	95.0	0.62	-8.52	8.54	274	
O <sub>M</sub>	39.92	58.74	27.99	65.07	25	
Y <sub>M</sub>	81.26	-2.89	71.56	71.62	92	
L <sub>M</sub>	52.23	-42.42	13.6	44.55	162	
V <sub>M</sub>	30.57	1.41	-46.47	46.49	272	

Daten für Maximalfarbe (Ma):

$LAB^*LAB^*_{Ma}: 25\ 45\ -53$

$LAB^*LCH^*_{Ma}: 25\ 70\ 310$

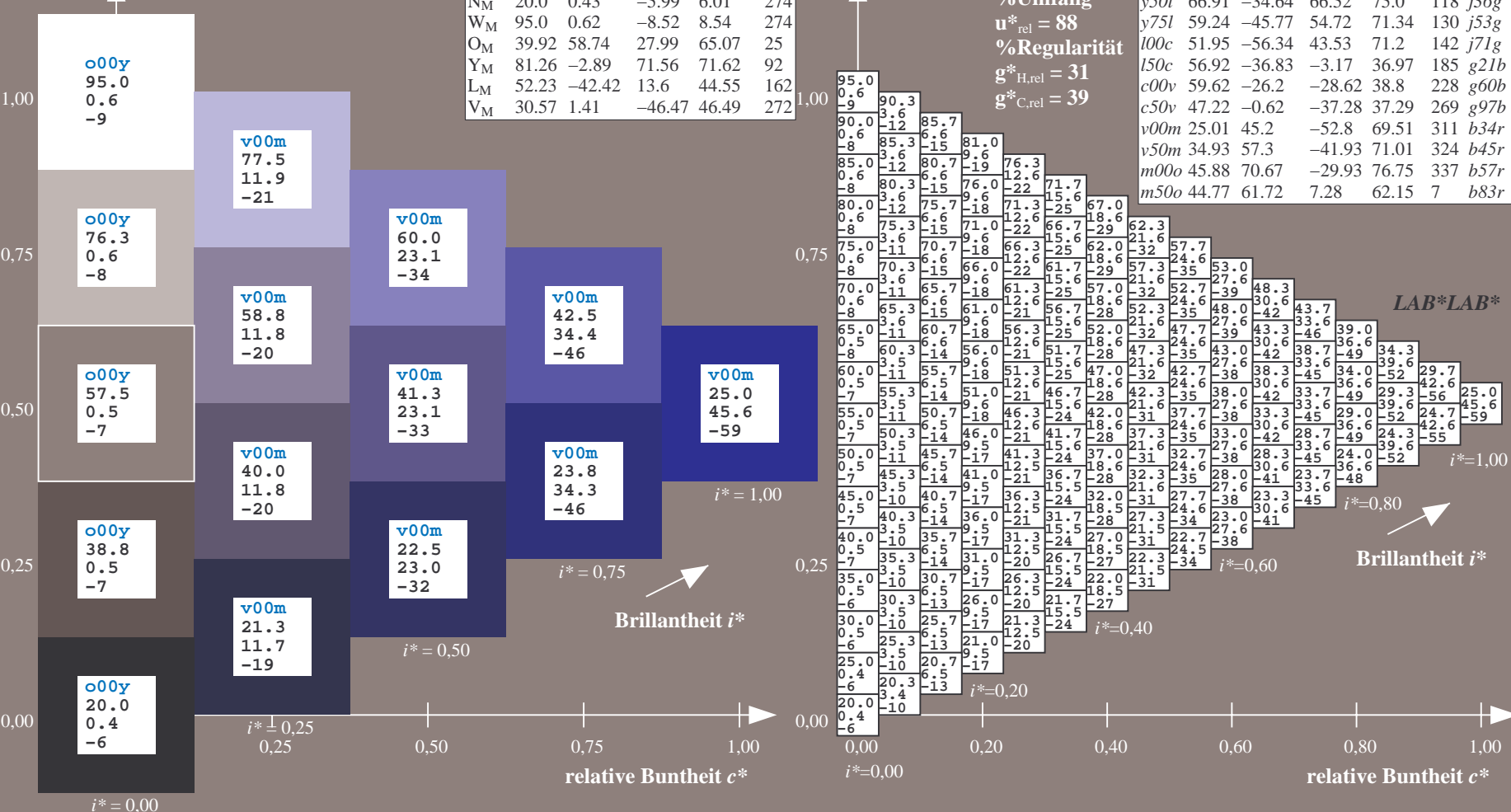
$lab^*olv^*_{Ma}: 0.0\ 0.0\ 1.0$

$lab^*rgb^*_{Ma}: 0.68\ 0.0\ 1.0$

Dreiecks-Helligkeit  $i^*$

%Umfang  
 $u^*_{rel} = 88$   
 %Regularität  
 $g^*_{H,rel} = 31$   
 $g^*_{C,rel} = 39$

FRS12_95a; adaptierte CIELAB-Daten									
	$u^*_d$	$L^*=L^*$	$a^*_a$	$b^*_a$	$C^*_{ab,a}$	$h^*_{ab,a}$	$u^*_e$		
o00y	43.8	53.91	39.75	66.98	36		r16j		
o25y	52.46	42.34	51.32	66.53	60		r37j		
o50y	61.53	30.2	63.46	70.28	65		r58j		
o75y	72.39	15.68	77.97	79.53	79		r79j		
y00l	87.58	-4.65	98.29	98.4	93		j01g		
y25l	75.85	-21.67	80.26	83.13	105		j18g		
y50l	66.91	-34.64	66.52	75.0	118		j36g		
y75l	59.24	-45.77	54.72	71.34	130		j53g		
l00c	51.95	-56.34	43.53	71.2	142		j71g		
l50c	56.92	-36.83	-3.17	36.97	185		g21b		
c00v	59.62	-26.2	-28.62	38.8	228		g60b		
c50v	47.22	-0.62	-37.28	37.29	269		g97b		
v00m	25.01	45.2	-52.8	69.51	311		b34r		
v50m	34.93	57.3	-41.93	71.01	324		b45r		
m00o	45.88	70.67	-29.93	76.75	337		b57r		
m50o	44.77	61.72	7.28	62.15	7		b83r		



BAM-Registrierung: 20081001-Fg78/10L/L78g00NP.PDF/.PS BAM-Material: Code=rhatha  
 Anwendung für Beurteilung und Messung von Drucker- oder Monitorssystemen

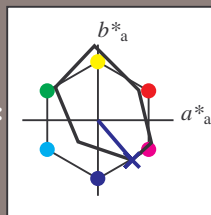
Ein und Ausgabe: Farbmetrisches Drucker-Reflektiv-System FRS12\_95a, L\*=20\_95 für relative CIELAB-Buntton  $h^* = lab^*h^* = h_{ab}/360 = 0.863$   $u^*_d = v00m$   
 $lab^*olv^*$

Daten für jede Farbe:  
 $lab^*tch^*$  und  $lab^*icu^*$

Bunttontexte:  
 $u^*_d = v00m$   $u^*_e = b34r$

Kontrastreduzierungsfaktor:  
 $c_R = 0.9$

Dreiecks-Helligkeit  $i^*$



**FRS12\_95a; CIELAB-Daten**

	$u^*_d$	$L^*=L^*_a$	$a^*$	$b^*$	$C^*_{ab}$	$h^*_{ab}$
O <sub>M</sub>	43.8	54.41	32.95	63.61	63.61	31
Y <sub>M</sub>	87.58	-4.04	90.02	90.11	90.11	93
L <sub>M</sub>	51.95	-55.83	36.46	66.68	66.68	147
C <sub>M</sub>	59.62	-25.67	-35.94	44.17	44.17	234
V <sub>M</sub>	25.01	45.64	-58.96	74.57	74.57	308
M <sub>M</sub>	45.88	71.17	-36.79	80.12	80.12	333
N <sub>M</sub>	20.0	0.43	-5.99	6.01	6.01	274
W <sub>M</sub>	95.0	0.62	-8.52	8.54	8.54	274
O <sub>M</sub>	39.92	58.74	27.99	65.07	65.07	25
Y <sub>M</sub>	81.26	-2.89	71.56	71.62	71.62	92
L <sub>M</sub>	52.23	-42.42	13.6	44.55	44.55	162
V <sub>M</sub>	30.57	1.41	-46.47	46.49	46.49	272

Daten für Maximalfarbe (Ma):

$LAB^*LAB^*_Ma$ : 25 45 -53

$LAB^*LCH^*_Ma$ : 25 70 310

$lab^*olv^*_Ma$ : 0.0 0.0 1.0

$lab^*rgb^*_Ma$ : 0.68 0.0 1.0

Dreiecks-Helligkeit  $i^*$

%Umfang

$u^*_{rel} = 88$

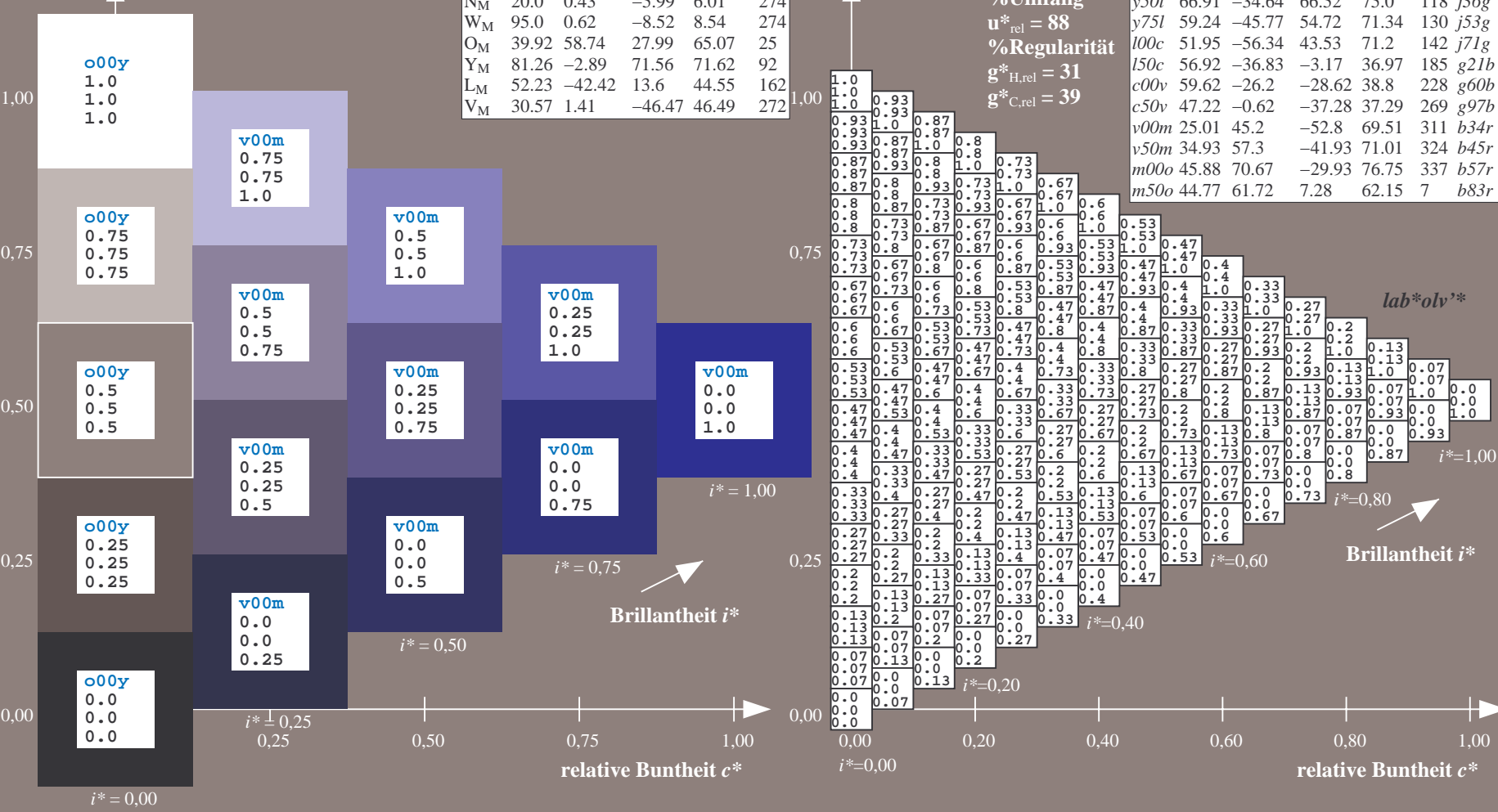
%Regularität

$g^*_{H,rel} = 31$

$g^*_{C,rel} = 39$

**FRS12\_95a; adaptierte CIELAB-Daten**

	$u^*_d$	$L^*=L^*_a$	$a^*_a$	$b^*_a$	$C^*_{ab,a}$	$h^*_{ab,a}$	$u^*_e$
o00y	43.8	53.91	39.75	66.98	36	r16j	
a25y	52.46	42.34	51.32	66.53	60	r37j	
a50y	61.53	30.2	63.46	70.28	65	r58j	
o75y	72.39	15.68	77.97	79.53	79	r79j	
y00l	87.58	-4.65	98.29	98.4	93	j01g	
y25l	75.85	-21.67	80.26	83.13	105	j18g	
y50l	66.91	-34.64	66.52	75.0	118	j36g	
y75l	59.24	-45.77	54.72	71.34	130	j53g	
l00c	51.95	-56.34	43.53	71.2	142	j71g	
l50c	56.92	-36.83	-3.17	36.97	185	g21b	
c00v	59.62	-26.2	-28.62	38.8	228	g60b	
c50v	47.22	-0.62	-37.28	37.29	269	g97b	
v00m	25.01	45.2	-52.8	69.51	311	b34r	
v50m	34.93	57.3	-41.93	71.01	324	b45r	
m00o	45.88	70.67	-29.93	76.75	337	b57r	
m50o	44.77	61.72	7.28	62.15	7	b83r	

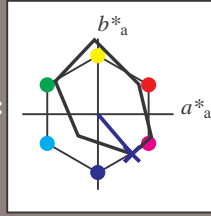


Siehe ähnliche Dateien: <http://www.ps.bam.de/Fg78/>; [www.ps.bam.de/Fg78/Version 2.1, io=1,1, ColSpx=0](http://www.ps.bam.de/Fg78/Version%201.1,%20ColSpx=0)  
 Technische Information: <http://www.ps.bam.de>

BAM-Registrierung: 20081001-Fg78/10L/L78g00NP.PDF/.PS BAM-Material: Code=rhatha  
 Anwendung für Beurteilung und Messung von Drucker- oder Monitorssystemen

Ein und Ausgabe: Farbmetrisches Drucker-Reflektiv-System FRS12\_95a, L\*=20\_95 für relative CIELAB-Buntton  $h^* = lab^*h^* = h_{ab}/360 = 0.863$   $u^*_d = v00m$   
 Daten für jede Farbe:  $lab^*tch^*$  und  $lab^*icu^*$  **LAB\*cmy\*n\*\***

Bunttontexte:  
 $u^*_d = v00m$   $u^*_e = b34r$   
 Kontrastreduzierungsfaktor:  
 $c_R = 0.9$   
 Dreiecks-Helligkeit  $i^*$



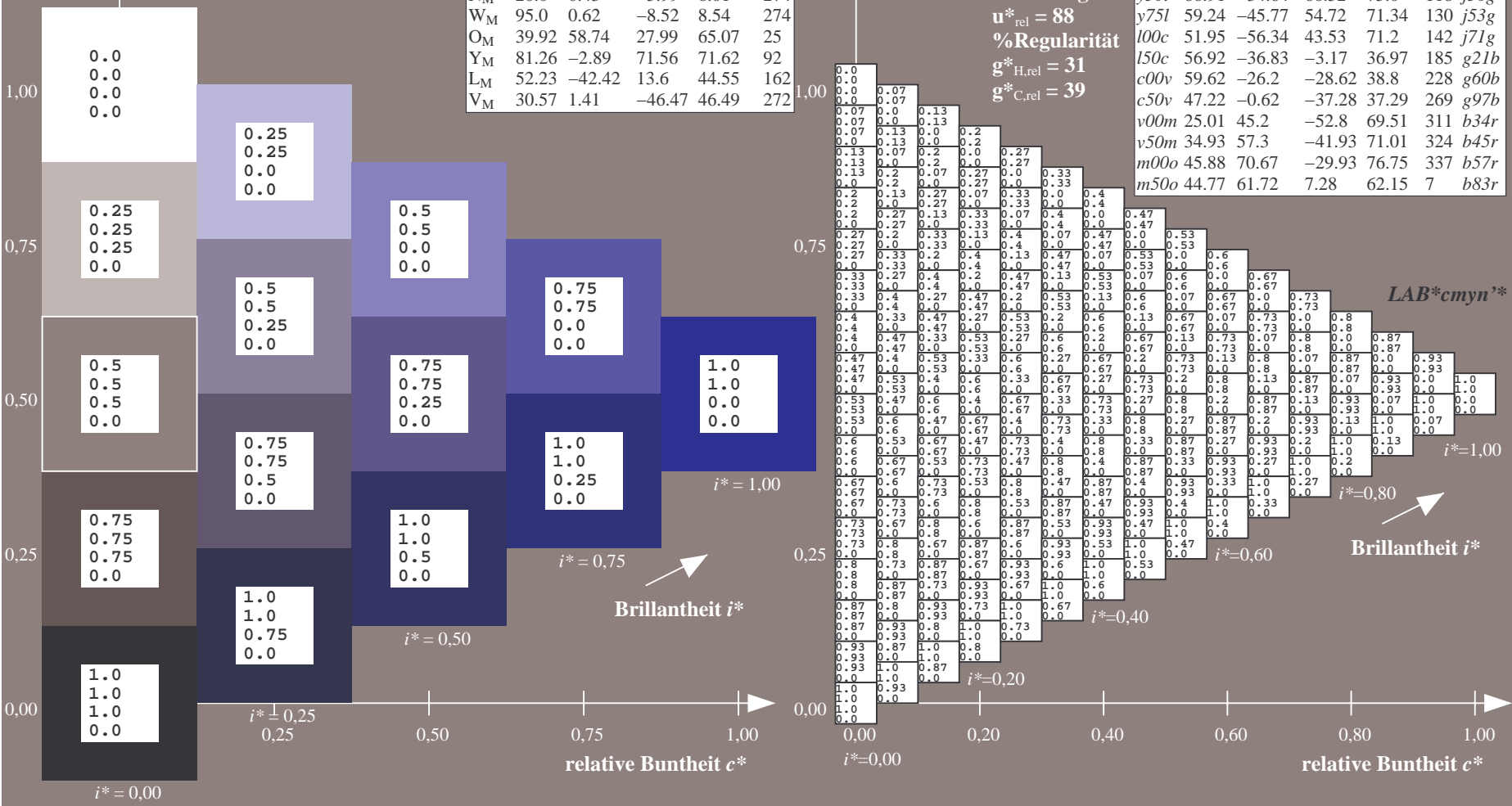
FRS12_95a; CIELAB-Daten						
	$u^*_d$	$L^*=L^*_a$	$a^*$	$b^*$	$C^*_{ab}$	$h^*_{ab}$
O <sub>M</sub>	43.8	54.41	32.95	63.61	31	
Y <sub>M</sub>	87.58	-4.04	90.02	90.11	93	
L <sub>M</sub>	51.95	-55.83	36.46	66.68	147	
C <sub>M</sub>	59.62	-25.67	-35.94	44.17	234	
V <sub>M</sub>	25.01	45.64	-58.96	74.57	308	
M <sub>M</sub>	45.88	71.17	-36.79	80.12	333	
N <sub>M</sub>	20.0	0.43	-5.99	6.01	274	
W <sub>M</sub>	95.0	0.62	-8.52	8.54	274	
O <sub>M</sub>	39.92	58.74	27.99	65.07	25	
Y <sub>M</sub>	81.26	-2.89	71.56	71.62	92	
L <sub>M</sub>	52.23	-42.42	13.6	44.55	162	
V <sub>M</sub>	30.57	1.41	-46.47	46.49	272	

Daten für Maximalfarbe (Ma):

$LAB^*LAB^*_Ma$ : 25 45 -53  
 $LAB^*LCH^*_Ma$ : 25 70 310  
 $lab^*olv^*_Ma$ : 0.0 0.0 1.0  
 $lab^*rgb^*_Ma$ : 0.68 0.0 1.0

FRS12_95a; adaptierte CIELAB-Daten									
	$u^*_d$	$L^*=L^*_a$	$a^*_a$	$b^*_a$	$C^*_{ab,a}$	$h^*_{ab,a}$	$u^*_e$		
o00y	43.8	53.91	39.75	66.98	36		r16j		
o25y	52.46	42.34	51.32	66.53	60		r37j		
o50y	61.53	30.2	63.46	70.28	65		r58j		
o75y	72.39	15.68	77.97	79.53	79		r79j		
y00l	87.58	-4.65	98.29	98.4	93		j01g		
y25l	75.85	-21.67	80.26	83.13	105		j18g		
y50l	66.91	-34.64	66.52	75.0	118		j36g		
y75l	59.24	-45.77	54.72	71.34	130		j53g		
l00c	51.95	-56.34	43.53	71.2	142		j71g		
l50c	56.92	-36.83	-3.17	36.97	185		g21b		
c00v	59.62	-26.2	-28.62	38.8	228		g60b		
c50v	47.22	-0.62	-37.28	37.29	269		g97b		
v00m	25.01	45.2	-52.8	69.51	311		b34r		
v50m	34.93	57.3	-41.93	71.01	324		b45r		
m00o	45.88	70.67	-29.93	76.75	337		b57r		
m50o	44.77	61.72	7.28	62.15	7		b83r		

Dreiecks-Helligkeit  $i^*$   
 %Umfang  
 $u^*_{rel} = 88$   
 %Regularität  
 $g^*_{H,rel} = 31$   
 $g^*_{C,rel} = 39$



BAM-Registrierung: 20081001-Fg78/10L/L78g00NP.PDF/.PS BAM-Material: Code=rhatha  
 Anwendung für Beurteilung und Messung von Drucker- oder Monitorssystemen